

## PAPER DETAILS

TITLE: Biyik Deseni Üretiminde Çekismeli Üretici Aglarin Performans Karsilastirmasi

AUTHORS: Emrullah SAHIN,Muhammed Fatih TALU

PAGES: 1575-1589

ORIGINAL PDF URL: <https://dergipark.org.tr/tr/download/article-file/1936903>

## Büyük Deseni Üretiminde Çekişmeli Üretici Ağların Performans Karşılaştırması

Emrullah ŞAHİN<sup>1\*</sup>, Muhammed Fatih TALU<sup>1</sup>

<sup>1</sup>İnönü Üniversitesi, Mühendislik Fakültesi, Bilgisayar Mühendisliği Bölümü, Türkiye  
(ORCID: [0000-0002-3390-6285](https://orcid.org/0000-0002-3390-6285)) (ORCID: [0000-0003-1166-8404](https://orcid.org/0000-0003-1166-8404))

---

### Öz

Bu çalışmada görüntünden görüntüye dönüşüm yapan çekismeli üretici ağ mimarilerinin performans incelemesi yapılmış, sentetik görüntü üretimindeki başarımı değerlendirilmiştir. Bu modellerin kaliteli bir üretim değerlendirmesi için standartlaşılmış veri kümeleri yerine gerçek iş alanından toplanan denim2büyük veri kümlesi kullanılmıştır. Denim kumaşları üzerine çizilen büyük desenleri lazer cihazıyla oluşturulmaktadır. Bu cihazın istenilen büyük desenini oluşturabilmesi için uzmanlaşmış bir personel tarafından görsel düzenleme programları ile yaklaşık 2-3 saat süren bir çalışma yapması gereklidir. Önerilen yaklaşımla otomatik bir büyük üretim işlemi gerçekleşecektir, manuel üretimdeki hatalar ve zamansal kayıplar elimine edilecektir. Yaptığımız literatür araştırması neticesinde denim ürün görsellerinin üretken ağlar ile üretilmesi ile ilgili farklı bir çalışma bulunmamaktadır. Bu durum yapılan çalışmanın akademik özgün değerini yükseltmektedir. Çalışmada kullanılan ÇÜA mimarileri Pix2Pix, CycleGAN, DiscoGAN ve AttentionGAN'dır. Her bir mimarinin denim2büyük veri kümelerindeki eğitim ve test verileri üzerinde büyük deseni üretim başarım değerlendirmesi ve maliyet analizi yapılmıştır. Yapılan çalışmalar sonucunda, büyük desen görseli üretim hızı bir saniyenin altına düşerken, üretim doğruluğu %86 seviyelerine çıktıığı görülmektedir.

**Anahtar kelimeler:** Çekismeli üretici ağlar, Sentetik görüntü üretimi, Büyuk deseni, Denim kumaş.

---

## Performance Comparison of Generative Adversarial Networks in Mustache Pattern Production

---

### Abstract

In this study, performance analysis of generative adversarial network architectures that transform from image to image is made and its performance in synthetic image generation is evaluated. For a quality performance evaluation of these models, the denim2büyük dataset collected from the real-world area was used instead of standardized datasets. Mustache patterns drawn on denim fabrics are created with a laser device. For this device to create the desired mustache pattern, it is necessary to work with visual editing programs for approximately 2-3 hours by specialized personnel. With the proposed approach, an automatic mustache production process will be realized, errors and time losses in manual production will be eliminated. As a result of our literature research, there is no different study on the production of denim product images with productive networks. This situation increases the academic original value of the study. GAN architectures used in the study are Pix2Pix, CycleGAN, DiscoGAN, and AttentionGAN. Mustache pattern production performance evaluation and cost analysis were performed on the training and test data in the denim2büyük dataset of each architecture. As a result of the studies, it is seen that the production speed of the mustache pattern image drops below one second, while the production accuracy reaches 86%.

**Keywords:** GANs, Synthetic image generation, Mustache pattern, Denim fabric.

---

\*Sorumlu yazar: [essahin950@gmail.com](mailto:essahin950@gmail.com)  
Geliş Tarihi: 22.08.2021, Kabul Tarihi: 17.11.2021

## 1. Giriş

Teknolojinin hızlı gelişmesiyle birlikte yapay öğrenme alanındaki çalışmalar da ilerlemektedir. Günümüzde teknolojik yaşamın bir parçası haline gelen bu alan; dil çevirileri, konuşma botları, yüz tanıma, ses tanıma, hastalık teşhisleri, veri iyileştirme, otonom araçlar ve veri üretimi gibi birçok alanda kullanılmaktadır. Bu alan birçok öğrenme yöntemi barındırmamasına rağmen günümüzde en popüler olanı Derin öğrenme mimarileridir ve gün geçtikçe gelişerek popülerliğini artırmaktadır [1].

Derin öğrenme olarak adlandırılan evrişimli öğrenme metodolojisi LeCun tarafından 1989'da önerilmiştir. Çalışmasında el yazısı ile yazılın posta kodlarını tanımlayan bir algoritma geliştirmiştir. Bu algoritmanın en önemli özelliği evrişimsel (konvölüsyon) katmanları içermesi ve geri beslemeli olarak eğitilebilmesidir [2].

Evrişimsel ağların çeşitlenmesiyle birlikte sentetik görüntü üretiminde devrimsel özellik taşıyan ÇÜA mimarisi 2014 yılında Goodfellow ve ekibi tarafından ortaya çıkmıştır [3]. Min-max algoritmasına dayanarak geliştirilen bu mimari, iki evrişimsel modelin karşıt çalışmasıyla öğrenmenin gerçekleştiği bir sistemdir [3].

ÇÜA mimarilerinin sentetik veri üretiminde kullanılmasıyla birlikte 2016 yılında Radford ve diğerleri tarafından DCGAN mimarisi geliştirilmiştir. Bir veri kümesindeki örnekler benzeyen sentetik görüntüler üretmek için basit bir gauss sinyalini ters evrişim işlemlerinden geçirerek görüntüye dönüştüren bir yapıya sahiptir [4].

Denetimli veri üzerinde eşleşmiş görüntü çiftleri arasında görüntüden görüntüye dönüşüm işlemini yapan ve koşullu çekişmeli bir ağ yapısına sahip olan Pix2Pix mimarisi 2016 yılında Isola ve ekibi tarafından önerilmiştir. Bu mimari ÇÜA maliyet fonksiyonuna ek olarak L1 metriği içermektedir [5].

2017 yılında Zhu ve diğerleri tarafından denetimsiz veri kümeleri üzerinde görüntüden görüntüye dönüşüm ve çift taraflı doğruluma işlemi yapan CycleGAN mimarisi geliştirilmiştir [6].

2018 yılında yüksek çözünürlüğe sahip kaliteli yapay görüntüler üretmek için Progressive GAN mimarisi Karras ve diğerleri tarafından geliştirilmiştir. Bu mimari, 4x4'lük görüntüler ile eğitime başladıkтан sonra zamanla gerçekçi görüntüler üretmeyi öğrenerek 1024x1024'lük görüntüler sentezleyebilmektedir [7].

Huang ve diğerleri tarafından gerçek zamanlı stil aktarımı için 2017 yılında sınırsız stil aktarımının temellerini oluşturan bir mimari geliştirilmiştir. Bu mimari içerik ve stil görüntüsü ile beslenerek dönüşüm görüntüsü elde etmektedir. Bu çalışmaya ilaveten 2018 yılında Karras ve diğerleri tarafından çekişmeli üretici ağlar için stil tabanlı bir üretici olan StyleGAN mimarisi geliştirilmiştir [8,9].

Wang ve diğerleri tarafından 2018 yılında anlamsal haritalar ile yüksek çözünürlüklü sentetik görüntü üretmek için Pix2Pix mimarisinin geliştirilmiş sürümü olan Pix2PixHD sürümü geliştirilmiştir [10].

Nvidia'da araştırmacılar tarafından anlamsal görüntü sentezlemek için 2019 yılında mekansal uyaranabilir normalleştirme özelliğine sahip SPADE mimarisi geliştirilmiştir [11].

2020 yılında anlamsal görüntü sentezlemenin yetersiz kalmasından dolayı panoptik harita bazlı görüntü sentezlemek için Dundar ve diğerleri tarafından "Panoptic-based Image Synthesis" adlı çalışma sunulmuştur [12].

2021 yılında Karras ve diğerleri tarafından, 2018 yılında geliştirilen StyleGAN mimarisindeki öteleme ve döndürmeden kaynaklı gizli alandan gelen sinyal probleminin çözümü için bu mimariye Fourier tabanlı özellikler ve çeşitli değişimler dahil edilerek, StyleGAN3 mimarisi geliştirilmiştir [13].

Real-ESRGAN mimarisi 2021 yılında Wang ve diğerleri tarafından düşük kaliteli görüntülerini yüksek kalitede sentezleyebilmek için geliştirilmiştir. Bu mimarinin ana özelliği bir görüntü düşük çözünürlük, bulanıklık, sıkıştırma veya gürültü benzeri birden fazla problem alanı içerebilirken aynı anda birden fazla hedefe odaklanabilmesidir [14].

Bir görüntüdeki istenmeyen nesnelerin veya bölgelerin, görüntünün ana akışını bozmadan, kaldırılmış imajını sentezleyebilmek için Suvorov ve diğerleri tarafından 2021 yılında Fourier konvolüsyon tabanlı LaMa mimarisi geliştirilmiştir [15].

İnsan yüzüne ait eski veya kalitesiz görsellerin yüksek kalitede gürültüsüz ve renkli olarak sentetik bir şekilde üretilmesi için 2021 yılında Wang ve diğerleri tarafından uzamsal özellik dönüşümlü GFP-GAN mimarisi geliştirilmiştir [16].

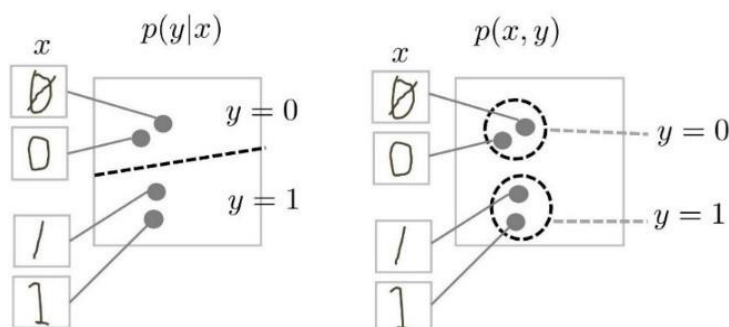
Bu çalışmada, ÇÜA'lar tekstil alanındaki bir problemin çözümünde kullanılmaktadır. Bu problem, denim kot kumaşları üzerindeki çizgi desen modelinin (büyük) çıkarılmasıdır. Büyik çıkarımı olarak bilinen bu işlem müşterinin örnek bir kot numunesi vermesiyle başlar. Örnek numune kotlar fotoğraflandıktan sonra uzman bir personel Photoshop gibi bir program kullanarak 2-3 saat süren bir çalışmayla büyük motiflerini çıkarır. Klasik yaklaşım işletme maliyetlerini artırmakta, üretim sürecinin uzamasına neden olmaktadır. Önerilen yaklaşımda, müşterilerden temin edilen denim kumaş numunelerindeki büyük desenlerinin otomatik üretilmesi söz konusudur. Bunun için görüntüden görüntüye çeviri yapan ÇÜA mimarileri kullanılmaktadır. Bu çalışmada görüntü sentezleme alanındaki ÇÜA mimarileri detaylı incelenmekte ve performansları karşılaştırılmaktadır. Bölüm 2.1'de ÇÜA mimarilerinin genel yapısı hakkında bilgilendirme yapılmıştır. Çalışmada kullanılan mimarilerin sırasıyla Pix2Pix, CycleGAN, DiscoGAN ve AttentionGAN denim2büyük veri kümesi üzerine uygulanması ve temel yapılarının incelenmesi bölüm 2.2-2.5'e kadar olan kısımlarda anlatılmıştır. Bölüm 2.6'da veri kümesinin oluşturulması hakkında bilgi verilmiştir. Bölüm 2.7'de sonuçların karşılaştırmasında kullanılan ölçüm metrikleri hakkında bilgi verilmiştir. Bölüm 3'de bu çalışmada elde edilen çıktılar ve bu çıktıların değerlendirilmesi ile ilgili sonuçlar verilmektedir.

## 2. Materyal ve Metot

Bu bölümde çekişmeli üretici ağlar ve görüntüden görüntüye dönüşüm işlemi yapan mimarilerin temel yapısı anlatılmaktadır.

### 2.1. Çekışmeli Üretici Ağlar

Cekışmeli üretici ağlar gerçek dünyadaki veri kümeleri ile karmaşık örüntülerini öğrenen enerji bazlı bir mimarıdır. Çekışmeli üretici ağların temel yapısı, ünlü matematikçi John Nash'in oyun teorisini baz alır ve birbirine karşı çalışarak öğrenen, iki evrişimli modülden oluşur. Bu modüllerden biri üretici (generator) ağ, diğeri ise ayırıcı (discriminator) ya da maliyet (cost) ağı olarak adlandırılır. Üretici ağ, gittikçe gerçeğe daha fazla benzeyen yapay (sahte) görüntüler sentezlemeye çalışan bir üreteçtir, ayırıcı ağ da gerçek ve sahte görüntülerini birbirinden ayırmak isteyen basit bir ikili sınıflandırıcıdır. Üretici, ayırıcıyı kandırmamak için sahte görüntüler oluştururken ayırıcı da zamanla öğrenerek sahte ile gerçek görüntü arasında aldanmamaya çalışır [3,17,18]. Ayırıcı ve üretici modüllerinin örnek veri üzerindeki çalışma mekanizması **Şekil 1**'de gösterilmektedir. Bu şemada ki sembollerden,  $\mathcal{X}$  veri örneklerini,  $\mathcal{Y}$  örnek çıktılarının gerçek veya sahte olduğunu,  $\mathcal{P}(\mathcal{X}, \mathcal{Y})$  ortak olasılık yoğunluk fonksiyonunu,  $\mathcal{P}(\mathcal{X}|\mathcal{Y})$  koşullu olasılık dağılımını belirtmektedir.

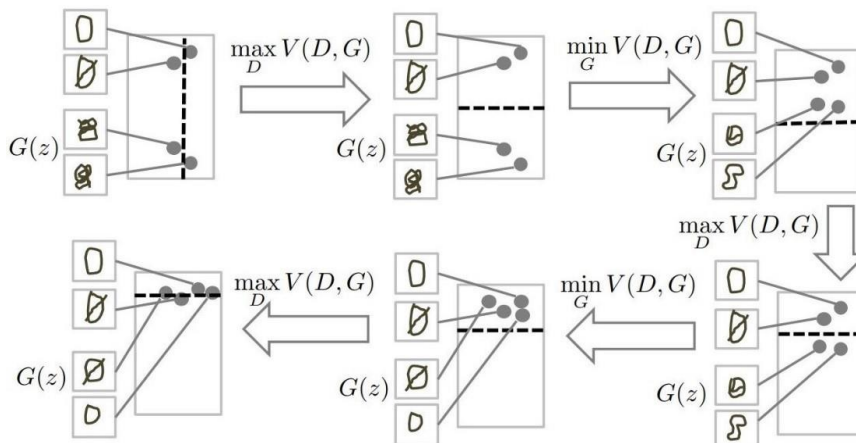


**Şekil 1.** ÇÜA mimarisi (1. sütun ayırıcı modülü, 2. sütun üretici modülü) [19]

Buna göre **Şekil 1**'in 1. sütunundaki ayırıcı ağ günlük hayatı kullanılan gerçek veriyi ( $\mathcal{Y} = 1$ ) ile üretici ağdan elde edilen sentetik görüntünün ( $\mathcal{Y} = 0$ ) bir düzlem üzerindeki izdüşümünü en iyi şekilde 1 ya da 0 olacak şekilde sınıflandırmaya çalışarak maliyeti yükseltmek ister, 2. sütundaki üretici ağ ise düzlem üzerinde gerçek ve üretilen veri kümeleri arasında ki mesafeyi azaltmak için gerçek görüntülere benzer görüntüler üremeye çalışarak maliyeti azaltmak ister. Bu işlem bir oyundaki iki rakibin birbirini yenmek için rakip tarafın yapabileceği en iyi (max) hamleyi düşünerek hasarı en aza (min) indirmeye çalışmak istemesidir. Literatürde bu yöntem min-max algoritması olarak geçmektedir. Çekışmeli üretici

ağlar da matematiksel olarak min-max yöntemini kullanarak eğitimi gerçekleştirir [3,19]. Bu yöntemin eğitim işlemiinde aşamalı olarak gösterimi **Şekil 2**'de verilmiştir.

Bu şemada ilk başta iki gerçek ve iki üretici ağdan ( $G(z)$ ) elde edilmiş  $z$  olarak adlandırılan rastgele üretilmiş ya da bir veriye ait öznitelik barındıran örneklerin izdüşümü düzlem üzerine aktarılmaktadır. Çekişmeli üretici ağın ana fonksiyonu  $V$  olarak tanımlanır. Ayırıcı ağ ( $D$ ) gerçek ve sentetik verilerin arasına bir set çekerek maliyeti maximize etmektedir. Ardından üretici ağ ( $G$ ) sentetik verilerin izdüşümünü gerçek verilerin izdüşümüne yakınlaştırmaya çalışarak maliyeti minimize etmektedir. Bu süreç ayırıcı ağın üretici ağdan gelen yapay görüntü ile gerçek görüntüyü ayırt edemeyecek duruma gelmesine kadar devam eder.



**Şekil 2.** Üretici ve ayırıcı ağın min-max yöntemiyle aşamalı öğrenimi [19]

Literatürdeki GAN mimarileri incelendiğinde sinyal-sinyal, sinyal-görüntü ve görüntü-görüntü dönüşümünü yapan farklı mimarilerin olduğu görülmektedir [17]. Bu çalışmada örnek denim kumaş görselinden büyük desen görselinin elde edilmesi amaçlandığı için görüntüden görüntü üretebilen mimarilere odaklanılmıştır.

## 2.2. Pix2Pix

Pix2Pix, görüntüden görüntüye dönüşüm işlemi yapan bir mimarıdır. Bu mimari, 2016 yılında Berkeley'den araştırmacılar tarafından geliştirilmiştir. Görüntü işleme ve bilgisayarlı görü alanlarındaki sorunların çoğu, bir giriş görüntüsüne karşılık gelen bir çıktı görüntüsü şeklindedir. Örneğin, bir siyah beyaz görüntünün renklendirilmesi, kenar haritasından anlamsal etiket haritasının elde edilmesi gibi işlemlerde bir görüntü alanından diğer alana dönüşüm işlemi yapmak zordur. Bu tarz problemlerin çözümünde Pix2Pix mimarisi ile önemli bir adım atıldı. Pix2Pix, koşullu (condition) GAN mimarilerinin özel bir versiyonudur. Bu model koşullu GAN mimarisine ek olarak  $L_1$  maliyet değeri içermektedir.  $L_1$  metriği üretilen görüntü ile hedef görüntü arasında benzerlik karşılaştırmasıdır [5].

Klasik koşullu GAN mimarilerindeki maliyet değeri Denklem (1) de ifade edilmektedir. Denklemdeki  $x$  girdisi  $y$  çıktısına bağlıdır. Ayırıcı ağ gerçek  $x$  ve  $y$  girdilerin öznitelik çıktısı ile gerçek  $x$  ve  $z$  öznitelığının üretici ağ'a verilerek elde edilen  $G(x, z)$  çıktısı arasındaki maliyeti hesaplar.

$$\mathcal{L}_{cGAN}(G, D) = \mathbb{E}_{x,y}[\log D(x, y)] + \mathbb{E}_{x,z}[\log D(x, G(x, z))] \quad (1)$$

Buna göre üretici  $G$  ağının bu amaç fonksiyonunu mimimize etmek isterken, ayırıcı  $D$  ağının maksimize etmek ister. Böylece optimal üreticinin maliyeti Denklem (2) gibi tanımlanır:

$$\arg \min_G \max_D \mathcal{L}_{cGAN}(G, D) \quad (2)$$

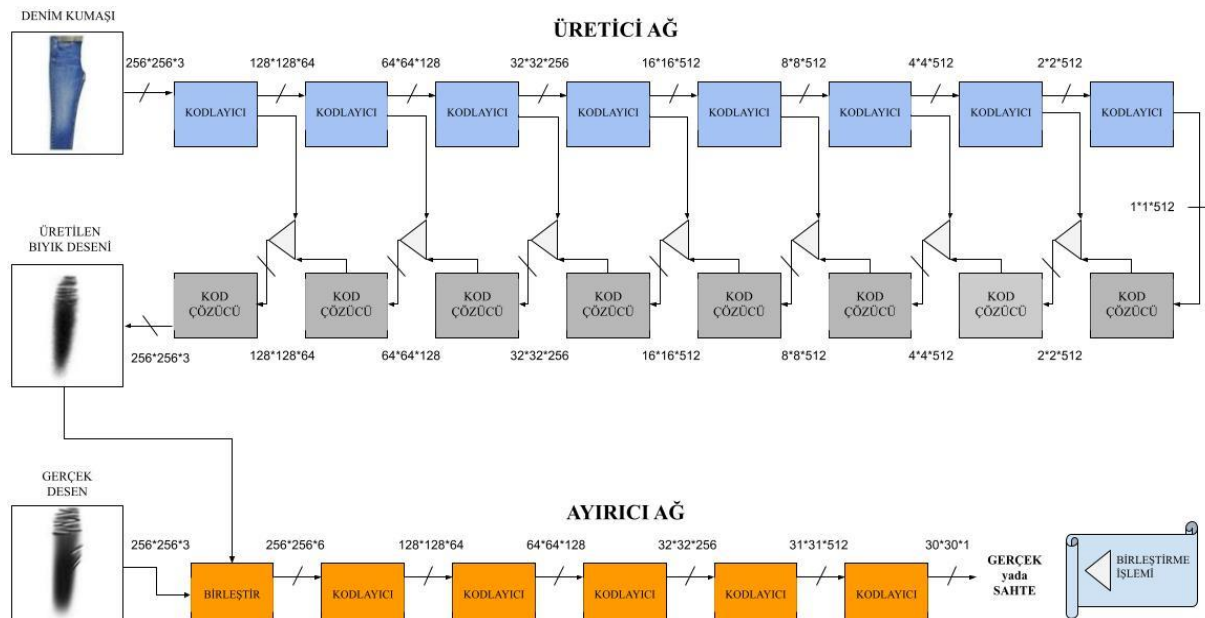
Denklem (1) de ifade edilen maliyet fonksiyonuna birde gerçek görüntü ile üretilen sahte görüntü arasındaki benzerlik maliyeti eklenerek Denklem (3) gibi ifade edilir. Bu maliyet değeri  $L_1$  uzaklık metriği olarak adlandırılan ortalama mutlak hatadır (MAE) [20].

$$\mathcal{L}_{L1}(G) = \mathbb{E}_{x,y,z}[\|y - G(x, z)\|_1] \quad (3)$$

$L_1$  maliyetinin eklenmesi sonucunda Pix2Pix mimarisinin maliyet fonksiyonu Denklem (4) gibi tanımlanır. Denklemdeki ana maliyet klasik ÇÜA maliyet sonucu ve  $L_1$  değerinin  $\lambda = 100$  değeri ile çarpılıp eklenmesiyle hesaplanır.

$$G^* = \arg \min_G \max_D \mathcal{L}_{cGAN}(G, D) + \lambda \mathcal{L}_{L1}(G) \quad (4)$$

Pix2Pix modeli üretici ağ olarak U-Net [21] mimarisini kullanmaktadır. Bu model 256x256x3 ebatlarında renkli görüntüyü almaktadır. Giriş görüntülerini kodlayıcı (Encode) bloklardan geçerek 1x1x512 ebatlarındaki öznitelik haritası vektöre dönüştür. Kodlayıcı bloklar evrişim (Conv2d), Leaky Relu ve Batch Normalization katmanlarını içermektedir. Elde edilen öznitelik vektörü ve her kodlayıcı bloğun çıktısı kendi karşısındaki kod çözücü (Decode) blokların çıktısı ile birleştirilerek üst kod çözücü bloğuna giriş olarak verilir. Bu işlemle dönüsmüş görüntü elde edilir. Kod çözücü bloklar kodlayıcı bloklardan farklı olarak aktivasyon fonksiyonunda Relu kullanmaktadır. Ayırıcı ağ gerçek ve üretilen sentetik görüntülerini kodlayıcı bloklarda işleyerek 30x30x1 ebatlarına dönüştürür. Elde edilen bu öznitelik haritası gerçek veya sahte olarak sınıflandırılmaya çalışır [5]. Pix2Pix mimarisini denim kumaşından büyük desen üretim işleminin şeması **Şekil 3**'de gösterilmiştir.



Şekil 3. Pix2Pix mimarisinin büyük desen çıkarımında kullanımı

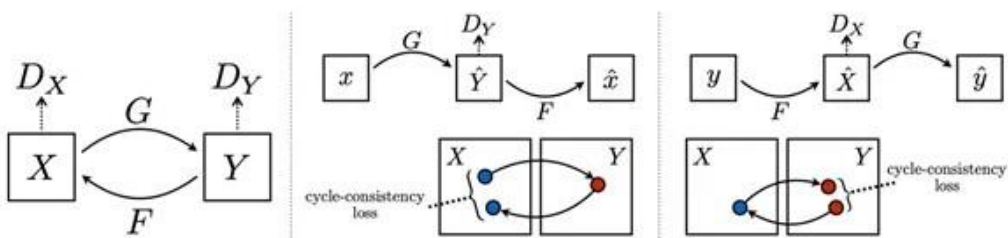
### 2.3. CycleGAN

CycleGAN mimarisini eşleştirilmiş görüntü çiftlerine ihtiyaç duymadan bir görüntünün X alanından Y alanına dönüşüm yapmasını sağlar. Bu mimari 2016 yılında yayımlanan Pix2Pix mimarisinde yapılan güncellemeler sonucunda 2017 yılında geliştirilmiştir. Pix2Pix mimarisini eşleştirilmiş görüntü çiftlerine ihtiyaç duyarken CycleGAN mimarisile bu gereksinim ortadan kaldırılmıştır. Başka bir deyişle, kaynak ve hedef alan arasında bire bir eşleştirme olmadan bir alandan diğerine dönüşüm yapabilir. CycleGAN mimarisini bir görüntü kümesinden diğer görüntü kümesine dönüşüm işlemi için döngü tutarlılığı kaybı kullanır. Genel yapısı Pix2Pix mimarisine benzerdir ve aynı zamanda aynı üretici ağ mimarisini kullanmaktadır. Pix2Pix mimarisini bir üretici ve ayırcı ağ yapısı kullanırken CycleGAN mimarisini iki üretici ve iki ayırcı ağ yapısı kullanmaktadır [5,6].

Mimaride eğitimde kullanılan iki üretici ( $G$  ve  $F$ ) ve iki ayırcı ( $D_X$  ve  $D_Y$ ) ağın çalışma mekanizması:

- Üretici  $G$  ağı  $X$  alanındaki görüntüyü  $Y$  alanındaki görüntüye dönüştürmeyi öğrenir. ( $G: X \rightarrow Y$ )
- Üretici  $F$  ağı  $Y$  alanındaki görüntüyü  $X$  alanındaki görüntüye dönüştürmeyi öğrenir. ( $F: Y \rightarrow X$ )
- Ayırıcı  $D_X$  ağı,  $X$  alanındaki gerçek görüntü ile  $F$  ağıının sonucunda üretilen  $\hat{X}(F(Y))$  görüntüsünü gerçek ya da sahte olarak sınıflandırmaya çalışır.
- Ayırıcı  $D_Y$  ağı,  $Y$  alanındaki gerçek görüntü ile  $G$  ağıının sonucunda üretilen  $\hat{Y}(G(X))$  görüntüsünü gerçek ya da sahte olarak sınıflandırmaya çalışır.

Bu adımların görsel şeması **Şekil 4**'de verilmiştir.



**Şekil 4.** CycleGAN mimarisinin ağı ve maliyet hesaplama şeması [6]

CycleGAN mimarisinde gerçek görüntü ile yeniden inşa edilen (reconstructed) görüntü arasındaki benzerlik maliyeti için döngü tutarlılık kaybı (cycle consistency loss) kullanılır. Bu maliyet işlemi Denklem (5) gibi ifade edilir. Denklem de  $X$  ile yeniden inşa edilen  $\hat{X}$  ve  $Y$  ile yeniden inşa edilen  $\hat{Y}$  arasında  $\mathcal{L}_{cyc}$  olarak adlandırılan ortalama karesel hata (MSE) [22] metriği ile maliyet hesaplanır.

$$\mathcal{L}_{cyc} = |F(G(X)) - X| + |G(F(Y)) - Y| \quad (5)$$

Mimarideki iki üretici ( $G, F$ ) ve iki ayırıcı ( $D_X, D_Y$ ) ağıın maliyetleri Denklem (1)'deki fonksiyon ile hesaplanır ve ek olarak döngü tutarlılık kaybı olduğu için toplam maliyeti üç ayrı kayıptan oluşur. Genel maliyet Denklem (6) gibi tanımlanır. Bu denklemdeki  $\lambda$  değeri 10 alınarak hesaplama yapılır.

$$\mathcal{L}(G, F, D_X, D_Y) = \mathcal{L}_{cGAN}(G, D_Y, X, Y) + \mathcal{L}_{cGAN}(F, D_X, Y, X) + \lambda \mathcal{L}_{cyc}(G, F) \quad (6)$$

Optimizasyonun bir parçası olarak, Denklem (7)'deki kayıp işlevi optimize edilir.

$$G^*, F^* = \arg \min_{G,F} \max_{D_X, D_Y} \mathcal{L}(G, F, D_X, D_Y) \quad (7)$$

Üretici  $G, F$  mimarilerinin kayıp değeri minimize etmeye çalışırken, ayırıcı  $D_X, D_Y$  ağlarını maksimize etmeye çalışır. Üretici ağların maliyet değerinin düşmesi ağıın daha gerçekçi görüntüler üretmesini sağlar ve ayırıcı ağlardaki maliyetin artması üretilen sentetik görüntü ile gerçek görüntü arasındaki ayırım yapmasını zorlaştırtır. Bu maliyetin artması ayırıcı ağıın gerçek ve sentetik görüntüyü sınıflandırmaya çalışırken daha dikkatli olmasını sağlar. Böylece üretici ve ayırıcı ağlar birbirini besleyerek giriş görüntülerine en uygun dönüşüm görüntüsünü elde etmeye çalışır.

## 2.4. DiscoGAN

DiscoGAN mimarisi birbirleri ile bağlantısı olmayan veri kümeleri arasındaki ilişkili keşfetmek için 2017 yılında geliştirilmiş koşullu GAN mimarisidir. Denetimsiz veriler üzerinde çalışan DiscoGAN mimarisinin temel konsepti CycleGAN mimarisine benzer: Her ikisi de iki ayrı dönüşüm işlevini öğrenir, biri  $X$  alanından  $Y$  alanına bir dönüşümü öğrenirken diğer ters bir eşleşmeyi öğrenir. CycleGAN gibi, DiscoGAN da yeniden yapılandırma kaybı temeli üzerine inşa edilmiştir [6,23]. Buradaki fikir, bir görüntü bir alandan diğerine ve ardından orijinal alana geri

dönüştürüldüğünde, oluşturulan görüntünün orijinali kadar benzer olması gerektidir. Bu durumda niceł fark, yeniden yapılandırma kaybı olarak değerlendirilir ve eğitim sırasında model bu kaybı en azı indirmeye çalışır. İki mimari arasındaki temel fark, DiscoGAN mimarisinin iki yeniden yapılandırma kaybı kullanmasıdır CycleGAN mimarisi tek yeniden yapılandırma kaybını belirli bir  $\lambda$  parametresi ile çarparak eğitimi gerçekleştirirken; DiscoGAN mimarisi iki yapılandırma kaybinin tamamını kullanarak işlemi gerçekleştirir [23].

DiscoGAN mimarisinin yeniden yapılandırma kaybı Denklem (8) gibi tanımlanır. DiscoGAN mimarisi CycleGAN mimarisi gibi döngü tutarlılık kaybı için ortalama karesel hata (MSE) metriğini kullanır. Bu işlem giriş görüntüsü  $X_A$  ile iki üretici ( $G_{BA}, G_{AB}$ ) ağdan geçtikten sonra elde edilen yeniden inşa edilen görüntü arasında hesaplanır.

$$\mathcal{L}_{CONST_A} = |G_{BA}(G_{AB}(X_A)) - X_A| \quad (8)$$

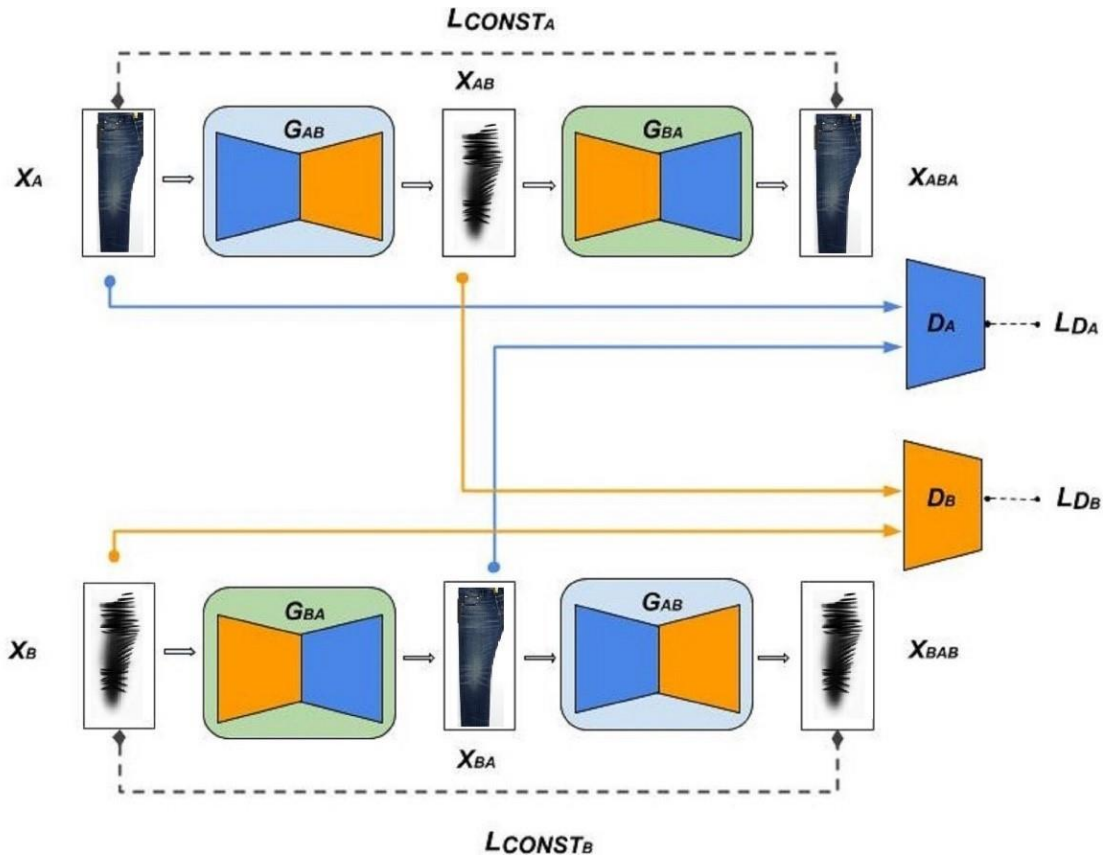
Mimarının bir alandaki eğitim işlemi için bir üretici ( $G_{AB}$ ) ve ayırıcı ( $D_B$ ) ağın maliyeti Denklem (1)'deki maliyet fonksyonun sonucu ile yeniden inşa edilen görüntü ile orijinali arasındaki döngü tutarlılık kaybinin toplamıdır. Bu maliyet fonksiyonu Denklem (9) gibi ifade edilir.

$$\mathcal{L}_{G_{AB}} = \mathcal{L}_{cGAN(G_{AB}, D_B)} + \mathcal{L}_{CONST_A} \quad (9)$$

İki üretici ve iki ayırıcı ağ için toplam maliyet fonksiyonu Denklem (10) gibi tanımlanır.

$$\mathcal{L}(G_{AB}, G_{BA}, D_A, D_B) = \mathcal{L}_{G_{AB}} + \mathcal{L}_{G_{BA}} \quad (10)$$

Dolayısıyla model,  $G_{AB}$  ve  $G_{BA}$  üretici ağıları ve  $D_A$  ve  $D_B$  ayırıcı ağılardan oluşmaktadır. DiscoGAN mimarisinin çalışma prensibinin örnek denim kumaşından büyük desen üretiminde kullanımı **Şekil 5**'deki görselde verilmiştir. Bu görselde alanlar arası ilişkisi yönleri açısından öğrenmeye çalışır. Bir görüntünün yeniden yapılandırmasından sonra, yön orijinal görüntünün yönüyle aynı olmalıdır. Şemada ki  $L$  simbolü maliyet fonksiyonu göstergesidir.

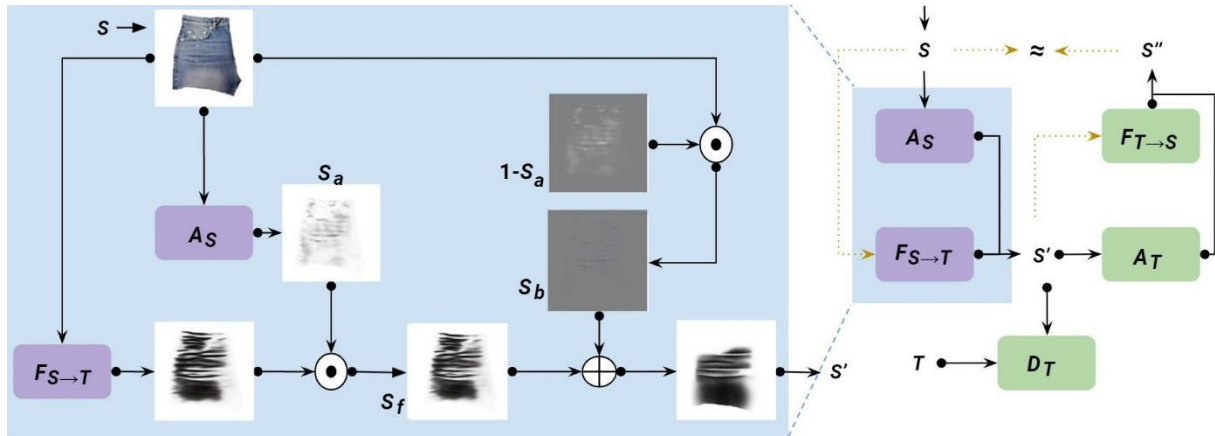


**Şekil 5.** DiscoGAN mimarisinin büyük desen çıkarımında kullanımı

## 2.5. AttentionGAN

AttentionGAN denetimsiz veri üzerinde görüntüden görüntüye dönüşüm sağlayan dikkat güdümlü bir mimaridir. Başlangıç noktası olarak CycleGAN mimarisi referans alınıp sıfır ile bir aralığında değerler içeren dikkat haritaları oluşturacak şekilde dikkat ağının mimariye entegrasyonuyla AttentionGAN mimarisi elde edildi [6,24]. Klasik görüntüden görüntüye çeviri yapan mimarilerin üretici ve ayırıcı ağları sadece kodlayıcı ve kod çözücü yapısını barındırmamasından dolayı görüntü üzerinde belirli bir alana dikkat yoğunlaştırmaları zordur. Bu yüzden görüntünün odaklanması gereken bölümne yeterli önem verilememektedir. AttentionGAN mimarisi görüntü içeriğini üretici ağ yapısıyla iletirken aynı zamanda görüntüde odaklanması gereken kısımların dikkat haritasını da çıkarıp ikisini birleştirir [24]. Böylece ağ değişimin olduğu yerlere odaklanıp arka plan veya ön plan içeriğine gereğinden fazla odaklanması engeller. Bu mimari dikkat haritalarından dolayı eşleşmemiş veri kümelerindeki görüntü dönüşümlerinin daha gerçekçi olmasını sağlar.

AttentionGAN mimarisinin akış diyagramı **Şekil 6**'da gösterilmiştir. Mimari;  $A_S$ ,  $A_T$  dikkat,  $F_{S \rightarrow T}$ ,  $F_{T \rightarrow S}$  üretici ve  $D_S$ ,  $D_T$  ayırıcı ağlarından oluşmaktadır. Giriş görüntüsü ( $S$ ), bu görüntünün dönüştürülmek istediği görüntü ( $T$ ) olarak ifade edilir. Giriş görüntüsü üretici  $F_{S \rightarrow T}$  ve dikkat  $A_S$  ağına verilerek elde edilen dikkat haritası ( $S_a$ ) ve içerik görüntüsü 3 kanalda (RGB) noktasal olarak çarpılır. Elde edilen çıktı  $S_f$  ön plan (foreground) görüntüsü olarak adlandırılır. Arka plan (background) içeriği içinde  $S$  giriş görüntüsü ve  $S_a$  dikkat haritasının tersi alınarak noktasal olarak çarpılır. Ön plan ve arka plan görüntülerini toplanarak giriş görüntüsünün dönüşmuş hali  $S'$  elde edilir. Çift taraflı doğrulama işlemi için  $S'$  görüntüsü  $F_{T \rightarrow S}$  ve  $A_T$  ağına verilerek aynı işlem tekrar edilir. Elde edilen  $S''$  görüntüsü giriş görüntüsünün yeniden inşa edilmiş imajıdır. Son olarak  $S$  ve  $S''$  görüntüsü arasında döngü tutarlılık maliyeti hesaplanır [24].



Şekil 6. AttentionGAN mimarisinin çalışma prensibi

AttentionGAN, CycleGAN mimarisi gibi gerçek görüntü ile yeniden inşa edilen görüntü arasındaki benzerlik maliyeti için döngü tutarlılık kaybı kullanılır. Bu maliyet fonksiyonu Denklem (11) gibi tanımlanır. Denklemdeki  $S$  ifadesi giriş görüntüsü ve  $S''$  ifadesi de yeniden inşa edilen giriş görüntüsüdür.

$$\mathcal{L}_{cyc}^S(S, S'') = \|S - S''\| \quad (11)$$

Kaynak ve hedef alan için toplam maliyet fonksiyonu Denklem (12)'de  $\lambda_{cyc} = 10$  alınarak hesaplanır.

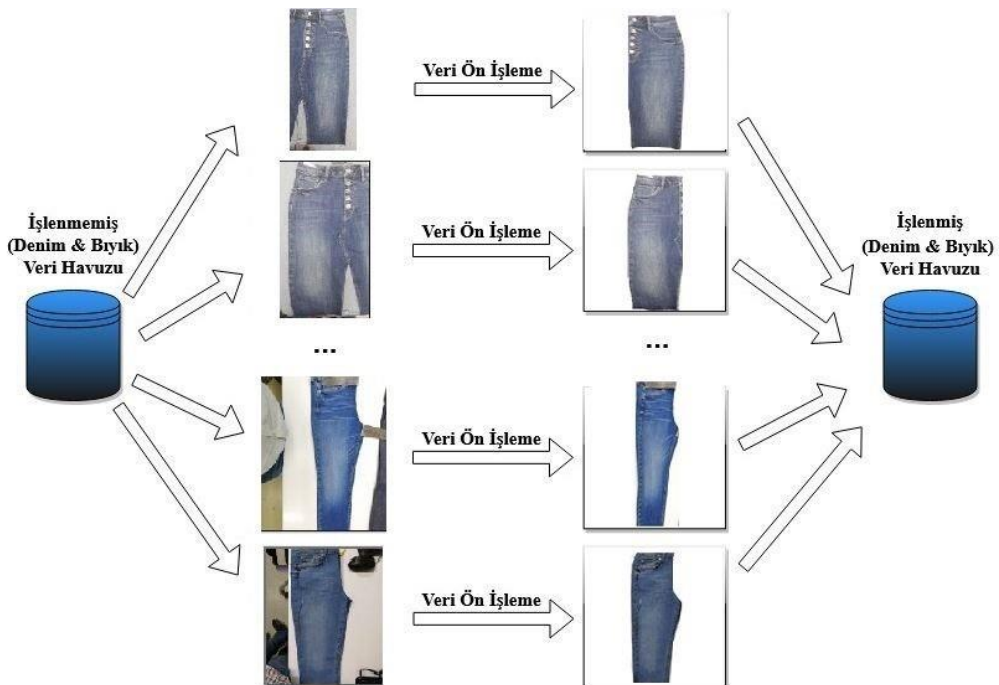
$$\mathcal{L}(F_{S \rightarrow T}, F_{T \rightarrow S}, A_S, A_T, D_S, D_T) = \mathcal{L}_{cGAN(F_{S \rightarrow T}, A_S, D_T)}^S + \mathcal{L}_{cGAN(F_{T \rightarrow S}, A_T, D_S)}^T + \lambda_{cyc} (\mathcal{L}_{cyc}^S + \mathcal{L}_{cyc}^T) \quad (12)$$

Optimizasyonun bir parçası olarak Denklem (13)'de maliyet değeri optimize edilmiş olur.

$$F_{S \rightarrow T}^*, F_{T \rightarrow S}^*, A_S^*, A_T^*, D_S^*, D_T^* = \underset{F_{S \rightarrow T}, F_{T \rightarrow S}, A_S, A_T}{\operatorname{argmin}} \left( \underset{D_S, D_T}{\operatorname{argmax}} \mathcal{L}(F_{S \rightarrow T}, F_{T \rightarrow S}, A_S, A_T, D_S, D_T) \right) \quad (13)$$

## 2.6. Denim2bıyük Veri Kümesi

Bu çalışma da kullanılan veri kümesi, Baykan Denim Konfeksiyon A.Ş.'nin Malatya'daki üretim fabrikasından elde edilmiştir. Veri kümesinin inşasında, firmanın şimdide kadar elde ettiği denim kumaş numune görselleri ve bunlara bakılarak görsel düzenleme programları ile manuel olarak çizilen büyük görüntüleri kullanılmıştır. Toplamda 950 adet denim2bıyük görüntü ikilisi elde edilmiştir. Bu görüntülerin 900 tanesi eğitim 50 tanesi test işlemi için ayrılmıştır. Veri kümesi, pantolon, etek ve şort olmak üzere üç farklı denim kumaş türünün ön yüz, arka yüz ve paça gibi farklı bölgelerine ait görseller içermektedir. Firma çalışanlarının cep telefonlarıyla elde edilen bu görüntülerinin standart bir forma sahip olmadığı görülmüştür. Daha açık bir ifadeyle, kumaş görsellerinin arkaplan görüntümeli, ışık dağılımları, boyutları ve perspektiflerinin farklı olduğu görülmüştür. Verinin standart bir forma dönüştürülebilmesi için her bir denim kumaş görseli üzerinde PhotoShop programı ile manuel bir temizleme çalışması yapılmıştır. Bu işlemin görsel şeması Şekil 7'de gösterilmektedir.



Şekil 7. Denim2bıyük veri kümlesi ön işleme şeması

Veri kümnesindeki herbir görüntü çiftinin ön plan nesnesi (kumaş görüntüsü) arka plandan ayıralanmış ve görüntü merkezde olacak şekilde beyaz bir zemin üzerine aktarılmıştır. Benzer işlem büyük desenlerinde de yapılarak girdi ve çıktı boyutlarının benzer olması ( $256 \times 256 \times 3$ ) sağlanmıştır. Ayrıca görseller üzerinde normalizasyon yapılarak ışık dağılımından kaynaklanan farklılıkların elimine edilmesi sağlanmıştır. Ön işlemler sonucu veri kümnesinde yer alan birkaç denim kumaş görseli ve bunlara karşılık elle hazırlanan büyük desen görüntülerini Şekil 8'de gösterilmektedir.



Şekil 8. Ön işlemler sonucu elde edilen denim2bıyük veri kümnesindeki görüntü örnekleri

## 2.7. Ölçüm Metrikleri

Bu bölümde gerçek (Ground True) ve üretilen sentetik görüntülerin karşılaştırmasında kullanılan ölçüm metrikleri anlatılmaktadır.

### 2.7.1. SSIM

Yapısal benzerlik metriği (SSIM) parlaklık, maskeleme ve kontrast gibi önemli algısal özelliklerle birlikte görüntüde algılanan değişikliği de analiz eden bir metiktir. Bu metrik görüntüdeki pikseller arasında bulunan konum farklılığını göz ardi ederek, görüntü çiftleri arasındaki benzerliğin hesaplanması ortalaması ( $\mu$ ) ve standart sapma ( $\sigma$ ) parametreleri üzerine inşa edilen istatistiksel bir ölçümdür [25].

İstatistiksel olarak gerçek ( $x$ ) ve yapay ( $y$ ) görüntüsü arasındaki yapısal benzerlik hesaplaması Denklem 14'te gösterilmektedir. Bu denklemdeki gerçek ve yapay görüntünün  $\mu_x$  ve  $\mu_y$  piksel

ortalamasını,  $\sigma_x^2$  ve  $\sigma_y^2$  varyansını belirtirken  $\sigma_{xy}$  gerçek ve yapay görüntü arasındaki kovaryansı belirtmektedir. Ek olarak  $c_1 = (k_1 L)^2$  ve  $c_2 = (k_2 L)^2$  sabit değerleri, piksel aralığını belirten  $L$  değeri 255. alınarak hesaplanır.

$$SSIM(x, y) = \frac{(2\mu_x\mu_y + c_1)(2\sigma_{xy} + c_2)}{(\mu_x^2 + \mu_y^2 + c_1)(\sigma_x^2 + \sigma_y^2 + c_2)} \quad (14)$$

## 2.7.2. MSE

İki veri örneği arasındaki benzerlik maliyetini hesaplamak için noktasal karesel ortalamasının alındığı bir karşılaştırma metriğidir [22]. Bu metriğin ana formülü Denklem 15'te gösterilmiştir. Denklem de gerçek ( $x$ ) ve yapay ( $y$ ) görüntüsü arasındaki her bir piksel farkının karesi alınıp toplanır. Toplam sonuç piksel sayısına ( $n$ ) bölünür.

$$MSE(x, y) = \frac{1}{n} \sum_{i=1}^n (x_i - y_i)^2 \quad (15)$$

Ölçüm değerinin ne kadar düşük olduğu yapay görüntü ve gerçek arasındaki benzerliğin o kadar yüksek olduğunu gösterir.

## 2.7.3. PSNR

Bir sinyalin olası maksimum gücü ile temsilinin doğruluğunu etkileyen bozucu gürültünün gücü arasındaki oran için logaritmik tabanlı kullanılan bir metriktir [26]. Sinyal gerçek görüntü veya veri olarak kabul edilir, gürültü ise verideki sıkıştırma veya bozulmadan kaynaklanan hatadır. İki görüntü arasındaki bu oran desibel olarak hesaplanır. Bu metriğin ana formülü Denklem 16'da gösterilmektedir. Denklemdeki gerçek ( $x$ ) ve yapay ( $y$ ) görüntüsü arasındaki ölçüm için  $MSE(x, y)$  değeri ve gerçek görüntünün en büyük piksel değeri ( $MAX_x^2$ ) hesaplamaya dahil edilir.

$$PSNR(x, y) = 10 * \log_{10} \left( \frac{MAX_x^2}{MSE} \right) \quad (16)$$

Ölçüm değerinin ne kadar yüksek olduğu sinyal kalitesinin o kadar iyi olduğunu gösterir, yani gerçek ile yapay veri arasındaki maliyetin düşük olduğunu gösterir.

## 3. Bulgular ve Tartışma

Çekişmeli üretici ağ modellerinin performans karşılaştırması denim kumاسından sentetik büyük desen üretim veri kümesi üzerinde yapılmıştır. Bu çalışmada bölüm 2'de anlatılan 4 farklı mimarinin eğitim ve test işlemleri PyTorch derin öğrenme kütüphanesiyle RTX 2080 ekran kartına sahip bir sunucu üzerinde 150 iterasyon (epoch) boyunca part boyutu (batch size) 1 alınarak gerçekleştirilmiştir. Mimarilerin temel yazılımsal kodları github: "<https://github.com/hee9joon/Image-to-Image-Translation>" adresli kaynaktan alınmıştır. Bu kaynacta görüntüden görüntüye dönüşüm yapan temel mimarilerin kodları bulunmaktadır. Temel kodların üzerinde hiperparametre, iterasyon (epoch), görüntü boyutları gibi ayarlamalar ve düzenlemeler yapılmıştır. Böylece bu modellerin uygun koşullar altında başarımlı performans karşılaştırması için gerekli ortam hazırlanmıştır. Başarımlı performans kriteri olarak görüntü üretim kalitesi ve bir adet görüntünün üretimi için gereken zamansal maliyet hesaplamaları yapılmıştır. Sentetik büyük desen üretim kalitesi, test kümesindeki görüntü çıktılarının 3 farklı metrik ile karşılaştırılmasıyla elde edilmiştir. Gerçek ve üretilen görüntü arasındaki benzerliği tam değerlendirebilmek için SSIM metriği ile görüntülerin yapısal benzerliği, PSNR yöntemi ile görüntü piksellerindeki maksimum sinyal gücü ve MSE yöntemi ile iki görüntü arasındaki piksel farklılık

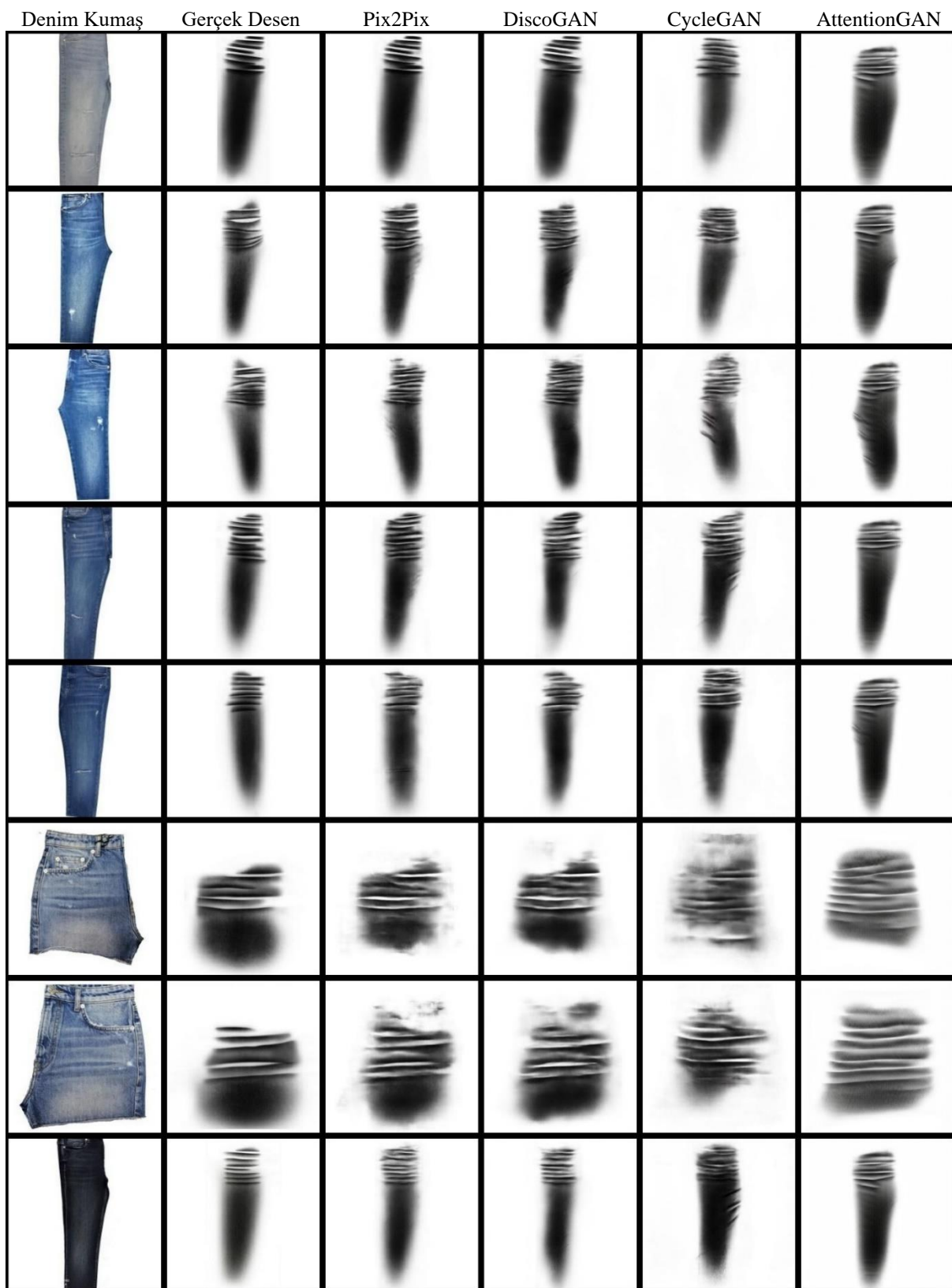
maliyeti ölçülmüştür. Modellerin test veri kümesinde bulunan 50 görüntü çifti üzerindeki başarımları performansları **Tablo 1**'de gösterilmektedir.

Modellerin sonuçları incelediğinde Pix2Pix mimarisinin sentetik görüntü üretim aşamasında yapısal (SSIM) olarak yüzde 86 oranında başarımları göstererek en iyi sonuç verdiği gözlemlenmektedir. DiscoGAN mimarisi eğitim gerçekleştirdikten sonra çift taraflı dönüşüm ve doğrulama işlemi kullandığından Pix2Pix mimarisine yakın kalitelide görüntüler üretmektedir. Pix2Pix mimarisi aynı zamanda zamansal maliyet karşılaştırmasında da daha iyi sonuç verdiği görülmektedir. Bu mimarının ağ yapısının denetimli ve daha basit olmasından dolayı kısa sürede kaliteli görüntü ürettiği görülmektedir.

**Tablo 1.** Mimarilerin denim2bıyük test kümesindeki başarımları sonuçları

Model Adı	Metrik Adı (Benzerlik)		Zaman (Saniye)
	SSIM	MSE	PSNR
AttentionGAN	0.757	2293.70	Bir görüntü üretim süresi 0,865
CycleGAN	0.754	2465.01	0,024
Pix2Pix	<b>0.868</b>	<b>808.37</b>	<b>0,022</b>
DiscoGAN	0.834	1628.74	0,848

Eğitim tamamlandıktan sonra 4 mimari ile test kümesinde bulunan görüntülerin sentetik büyük desen çıktıları elde edilmiştir. **Şekil 9**'da test kümesinden birkaç denim kumaş görseline ait sonuçlar gösterilmektedir. Buna göre Pix2Pix ve DiscoGAN mimarisiyle elde edilen görsellerin yüksek oranda gerçek sonuçlara (Ground True) benzettiği görülmüştür. CycleGAN ve AttentionGAN mimarilerinin ise büyük desen üretiminde beklenen seviyede kaliteli görüntüler üretmediği görülmektedir. Ancak hedeflenen gerçek büyük desen görüntüsünün henüz istenilen benzerlikte üretilmediği görülmektedir. Bunun en büyük nedeni, veri kümesindeki görsellerin belirli bir standartta çekilmemiş olmasıdır. Bir sonraki çalışmada bu standartlaştırma işlemi üzerinde durulacaktır.



Şekil 9. Mimarilerin denim2bıyık test kümesindeki görüntü üretim sonuçları

#### 4. Sonuç ve Öneriler

Bu makalede, görüntünden görüntüye dönüşüm yapan çekişmeli üretici ağ mimarilerinin performans karşılaştırması yapılmıştır. Mimarilerin karşılaştırmasında kullanılan veri kümesi Malatya organize sanayinde faaliyet gösteren Baykan Denim firmasından elde edilmiştir. Veri kümesi 950 denim2bıyük desen çifti görüntüsünü içermektedir. Geleneksel sistemde, denim kumaşından sentetik büyük desen üretimi çeşitli görüntü düzenleme programları ile manuel çizilerek elde edilir. Bu işlem ortalama 2-3 saat sürmekte ve işlemi yapan uzmanın kabiliyetine göre farklı kalitede büyük motifler elde edilebilmektedir. Bu çalışmanın temel katkısı, bahsedilen dezavantajları ortadan kaldırın, büyük üretim süresini yaklaşık 1 saniyeye düşüren, personel maliyetlerini azaltan ve farklı kalitede büyük motiflerinin olmasını engelleyen otonom bir sistem önerilmiştir. Literatürde üretken ağ mimarilerinin denim ürünlerine uygulamasını içeren farklı bir çalışmanın olmadığı görülmektedir. Bu durum yapılan çalışmanın akademik özgün değerini yükseltmektedir. Yapılan deneysel çalışmalarında Pix2Pix mimarisinin zamansal ve doğruluk olarak en iyi sonuçları ürettiği görülmüştür. Oldukça umit verici sonuçların elde edildiği bu çalışmada veri kümesinin standardizasyonu ve endüstriyel ortamda gerçek zamanlı çalışabilecek gömülü bir sistemin üretilme aşaması bir sonraki hedeflerdir.

#### Teşekkür

Bu çalışma İnönü Üniversitesi Bilimsel Araştırma ve Koordinasyon birimi tarafından “FKP-2021-2144” proje numarası ile finanse edilmiştir.

Çalışmada kullanılan veri kümesini erişime açan Baykan Denim Konfeksiyon A.Ş’ye ve İnönü Üniversitesi’ne teşekkürlerimizi sunarız.

#### Yazarların Katkısı

Yazarların makaleye olan katkıları eşit orandadır.

#### Çıkar Çatışması Beyanı

Yazarlar arasında herhangi bir çıkar çatışması bulunmamaktadır.

#### Araştırma ve Yayın Etiği Beyanı

Yapılan çalışmada araştırma ve yayın etiğine uyulmuştur.

#### Kaynaklar

- [1] Das S., Dey A., Pal A., Roy N. 2015. Applications of artificial intelligence in machine learning: review and prospect. International Journal of Computer Applications, 115 (9), 31–41.
- [2] LeCun Yann, et al. 1989. Backpropagation applied to handwritten zip code recognition. Neural Computation.
- [3] Goodfellow I J., Pouget-Abadie J., Mirza M., Xu B., Warde-Farley D., Ozair S., Courville A., Bengio Y. 2014. Generative adversarial nets. Advances in Neural Information Processing Systems, 2672–2680.
- [4] Radford A., Metz L., Chintala S. 2016. Unsupervised Representation Learning with Deep Convolutional Generative Adversarial Networks. 4th International Conference on Learning Representations, ICLR 2016- Conference Track Proceedings, 1–16.
- [5] Isola P., Zhu J Y., Zhou T., Efros A A. 2017. Image-to-Image Translation with Conditional Adversarial Networks. Proceedings- 30th IEEE Conference on Computer Vision and Pattern Recognition, CVPR 2017, 5967–5976.
- [6] Zhu J Y., Park T., Isola P., Efros A A. 2017. Unpaired Image-to-Image Translation Using Cycle-Consistent Adversarial Networks. Proceedings of the IEEE International Conference on Computer Vision, 2242–2251.

- [7] Karras T., Aila T., Laine S., Lehtinen J. 2018. Progressive Growing of GANs for Improved Quality, Stability, and Variation. 6th International Conference on Learning Representations, ICLR 2018- Conference Track Proceedings, 1–25.
- [8] Huang X., Belongie S. 2017. Arbitrary Style Transfer in Real-Time with Adaptive Instance Normalization. Proceedings of the IEEE International Conference on Computer Vision, 1510–1519.
- [9] Karras T., Laine S., Aila T. 2019. A Style-based Generator Architecture for Generative Adversarial Networks. Proceedings of the IEEE Computer Society Conference on Computer Vision and Pattern Recognition, 4396–4405.
- [10] Wang T C., Liu M Y., Zhu J Y., Tao A., Kautz J., Catanzaro B. 2018. High-Resolution Image Synthesis and Semantic Manipulation with Conditional GANs. Proceedings of the IEEE Computer Society Conference on Computer Vision and Pattern Recognition, 8798–8807.
- [11] Park T., Liu M Y., Wang T C., Zhu J Y. 2019. Semantic Image Synthesis with Spatially-adaptive Normalization. Proceedings of the IEEE Computer Society Conference on Computer Vision and Pattern Recognition, 2332–2341.
- [12] Dundar A., Sapra K., Liu G., Tao A., Catanzaro B. 2020. Panoptic-based Image Synthesis. Proceedings of the IEEE Computer Society Conference on Computer Vision and Pattern Recognition, 8067–8076.
- [13] Karras T., Aittala M., Laine S., Härkönen E., Hellsten J., Lehtinen J., Aila T. 2021. Alias-free generative adversarial networks. NeurIPS, 2106.12423.
- [14] Wang X., Xie L., Dong C., Shan Y. 2021. Real-ESRGAN: Training Real-world Blind Super-resolution with Pure Synthetic Data. Proceedings of the IEEE/CVF International Conference on Computer Vision, 1905–1914.
- [15] Suvorov R., Logacheva E., Mashikhin A., Remizova A., Ashukha A., Silvestrov A., Kong N., Goka H., Park K., Lempitsky V. 2021. Resolution-robust large mask inpainting with fourier convolutions. 2109.07161.
- [16] Wang X., Li Y., Zhang H., Shan Y. 2021. Towards real-world blind face restoration with generative facial prior. 2101.04061.
- [17] Huang H., Yu P S., Wang C. 2018. An Introduction to Image Synthesis with Generative Adversarial Nets. 1–17.
- [18] Goodfellow I. 2016. Generative Adversarial Networks. NIPS 2016 Tutorial.
- [19] Lazarou C. 2021. Generative Adversarial Networks. <https://www.slideshare.net/ckmarkohchang/generative-adversarial-networks>. (Erişim Tarihi: 20.04.2021)
- [20] Ghosh A., Kumar H., Sastry P S. 2017. Robust Loss Functions under Label Noise for Deep Neural Networks. 31st AAAI Conference on Artificial Intelligence, AAAI 2017, 1919–1925.
- [21] Ronneberger O., Fischer P., Brox T. 2015. U-Net: Convolutional Networks for Biomedical Image Segmentation. MICCAI.
- [22] Mihelich M., Dognin C., Shu Y., Blot M. 2020. A Characterization of Mean Squared Error for Estimator with Bagging. ArXiv, abs/1908.02718.
- [23] Kim T., Cha M., Kim H., Lee J. K., Kim J. 2017. Learning to Discover Cross-domain Relations with Generative Adversarial Networks. 34th International Conference on Machine Learning, ICML 2017, 4, 2941–2949.
- [24] Mejjati Y A., Richardt C., Tompkin J., Cosker D. 2018. Unsupervised attention-guided image-to-image translation. NeurIPS 2018, 1–11.
- [25] Nilsson J., Akenine-Möller T. 2020. Understanding SSIM. ArXiv, abs/2006.13846.
- [26] Fardo F A., Conforto V H., Oliveira F C., Rodrigues P. 2016. A formal evaluation of PSNR as quality measurement parameter for image segmentation algorithms. ArXiv, abs/1605.07116.